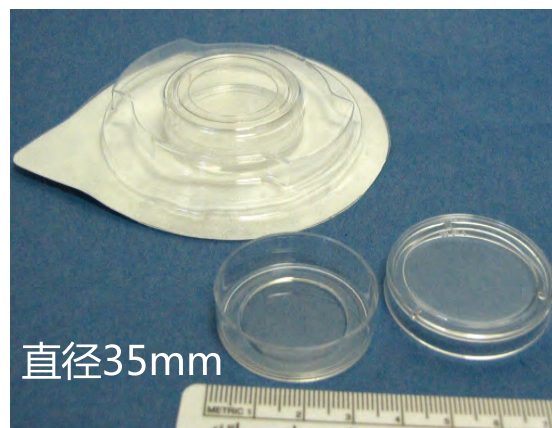
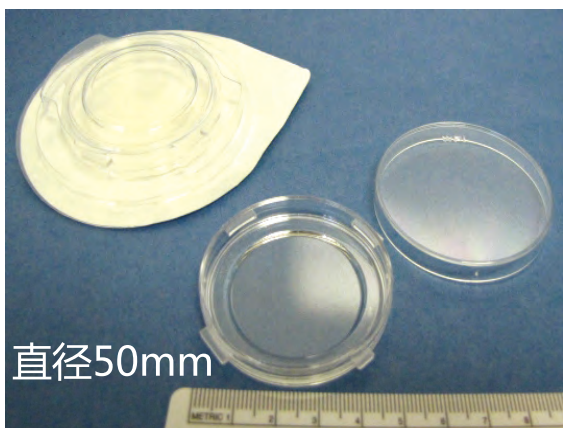
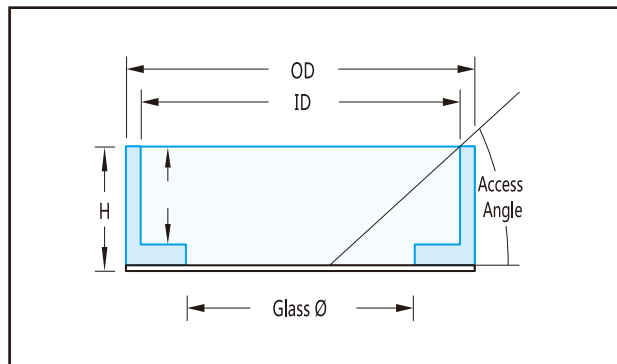


产品概况

WPI公司的玻璃底荧光培养皿FluoroDish是一种高品质的玻璃底培养皿，平滑的光学质量玻璃底厚为 $0.17\text{mm} \pm 0.01\text{mm}$ ，硼硅盐玻璃良好的光学性能和极低的自体背景荧光，允许FluoroDish在短物镜焦距，大数值孔径(NA)，高放大倍率(可达 $100\times$)的情况下应用。大数值孔径和高放大倍率为常规和荧光倒置显微镜提供了卓越的图像。在图像分析的应用中，高效的NA使得在荧光和高分辨率下产生明亮的图像。

FluoroDish玻璃底培养皿允许使用油镜，可以用水，甘油，有机油，作最高放大观察，因此可直接在高分辨($40\times, 100\times$)显微镜下进行活细胞成像分析，适用于特殊实验要求，如共聚焦显微镜下观察实验，满足显微成像。



玻璃底荧光培养皿的特点

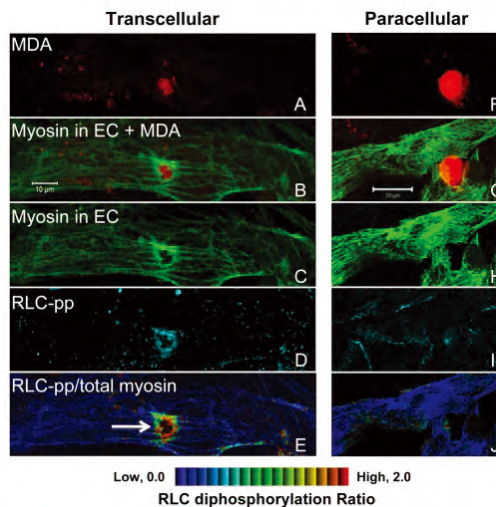
- **硼硅酸盐玻璃材质：**采用硼硅酸盐玻璃制作，底面薄，透光性能好，紫外光300 nm光透过率为30%，许多品牌透过率小于7%。这样可以在图象研究中很好的观察生长的细胞情况(RI=1.525)。
- **粘合剂毒性低：**FluoroDish使用了一种特殊配制的胶水，透明度高，持久性强，毒性极低，可以应用于胚胎研究。第三方独立实验室表明，保存在FluoroDish中的胚胎，96小时存活率为100%，明显优于其它品牌。
- **多种规格可供选择：**FluoroDish荧光培养皿有三种不同规格，直径50 mm的一种，直径35 mm的有两种。
- **多玻璃孔径规格可供选择：**35mm培养皿的玻璃底包括直径为23.5mm (FD35-100) 和直径为10mm (FD3510-100) 两种，这种小玻璃窗口所用样本容少，比较适用于较昂贵的荧光化学品和抗体。
- **玻璃底全覆盖：**0.17 mm的玻璃底全部覆盖底部的塑料，培养皿底部最大化的玻璃底平面，确保了观察距离保持一致，以及避免了热传导平台上由于温度的变化造成误差，因此更加有利于显微观测，并在移动观察时可确保培养皿的稳定和聚焦均一。
- **多种特殊物质包被可选：**PDL (多聚赖氨酸) 包被可以提高神经细胞的贴壁性；

产品用途

玻璃底荧光培养皿FluoroDish主要用于要求放大倍数高、透光性能好的各种细胞生物学显微实验，如激光共聚焦活细胞成像显微实验、荧光显微镜活细胞荧光成像实验、相差显微实验以及免疫荧光染色分析等。

产品用途

- 细胞生物学：STEM下的细胞研究、细胞周期调控、培养研究
- 激光共聚焦显微镜下的生物研究
- 分子生物学：遗传作图和复杂遗传研究
- 蛋白质化学领域：绿色荧光蛋白(GFP)鉴别
- 双/多光子共聚焦显微镜下的研究
- DIC和极化力显微镜下的研究
- 高质量成像系统和红外成像



来源：Satya Khuon. J Cell Sci. 2010 Feb 1; 123(Pt 3):431-40

参考文献

- [1] Maternal high-fat diet impairs cardiac function in offspring of diabetic pregnancy through metabolic stress and mitochondrial dysfunction. *Am J Physiol Heart Circ Physiol* 2016, 310: H681-H692, 2016.
- [2] Whole-scalp EEG mapping of somatosensory evoked potentials in macaque monkeys. *Brain Structure & Function*, 2015, 220(4):2121-2142
- [3] Left brain cortical activity modulates stress effects on social behavior. *Scientific Reports* 2015, 5:13342.
- [4] Cystic fibrosis transmembrane conductance regulator dysfunction in VIP knockout mice. *American Journal of Physiology. Cell Physiology* 2014, 307(2):C195-207
- [5] Functional and genetic analysis of choroid plexus development in zebrafish. *Frontiers in Neuroscience* 2014, 8, 364
- [6] Shank2 mutant mice display a hypersecretory response to cholera toxin. *The Journal of Physiology*, 2014, 592(8):1809-1821.
- [7] Chloride channel inhibition by a red wine extract and a synthetic small molecule prevents rotaviral secretory diarrhoea in neonatal mice. *Gut*, 63(7), 1120-9.
- [8] A frontal cortex event-related potential driven by the basal forebrain. *eLife* 2014, 3:e02148.
- [9] Bioelectric Signaling Regulates Size in Zebrafish Fins. *PLoS Genetics* 2014, 10(1):e1004080.
- [10] Rapid interferometric imaging of printed drug laden multilayer structures. *Scientific Reports* 2014, 4:4020.
- [11] Directing nuclear deformation on micropillared surfaces by substrate geometry and cytoskeleton organization. *Biomaterials* 2013, 34(12):2991-3001
- [12] A New Integrated Lab-on-a-Chip System for Fast Dynamic Study of Mammalian Cells under Physiological Conditions in Bioreactor. *Cells* 2013, 2(2):349-360.
- [13] Mechanism for the endocytosis of spherical nucleic acid nanoparticle conjugates. *Proceedings of the National Academy of Sciences of the United States of America* 2013, 110(19):7625-30.
- [14] Mapping microbubble viscosity using fluorescence lifetime imaging of molecular rotors. *Proceedings of the National Academy of Sciences of the United States of America* 2013, 110(23):9225-30.
- [15] Mitotic rounding alters cell geometry to ensure efficient bipolar spindle formation. *Developmental Cell* 2013, 25(3):270-283
- [16] The cytoplasm of living cells behaves as a poroelastic material. *Nature Materials* 2013, 12(3):253-261.

玻璃底荧光培养皿的参数

型号	内径 (mm)	外径 (mm)	玻璃直径 (mm)	高度 (内)(mm)	高度 (外)(mm)	进入角度(°)
FD35	33	35.5	23.5	7.8	9	29
FD3510	10	35.5	10	1.5	4.65	17
FD5040	47.5	49.82	35	7.25	7.4	17

订购信息

FD35-100	透明外壁, 35 mm, 23 mm内径, 每盒100个, 单个灭菌包装
FD35PDL-100	多聚赖氨酸包被, 透明外壁, 35 mm, 23 mm内径, 每盒100个, 单个灭菌包装, 冷藏放置更佳
FD3510-100	透明外壁, 35 mm, 10 mm内径, 每盒100个, 单个灭菌包装
FD5040-100	透明外壁, 50mm, 35 mm内径, 每盒100个, 单个灭菌包装